

# Usikkerhet. Usikrhetstrelasjoner

[PCH 4.5; DFG 1.6, 3.4; IØ Øring 1]

Standardavvik:  $\Delta X = \sqrt{\underbrace{\langle (x - \langle x \rangle)^2 \rangle}_{\text{RM}}^{\text{D}}} = \text{Root Mean Square Deviation}$

$$= \sqrt{\langle x^2 - 2x\langle x \rangle + \langle x \rangle^2 \rangle}$$

$$= \sqrt{\underbrace{\langle x^2 \rangle - \langle x \rangle^2}_{\text{RMSD}}}$$

For to målbare størrelser A og B gjelder:

$$\Delta A \cdot \Delta B \geq \frac{1}{2} |\langle [\hat{A}, \hat{B}] \rangle|$$

Beweis:

$$(\Delta A)^2 = \langle (A - \langle A \rangle)^2 \rangle = \langle (\hat{A} - \langle A \rangle)^2 \rangle = \langle \tilde{A}^2 \rangle$$

$$\text{dvs } \tilde{A} = \hat{A} - \langle A \rangle$$

$$(\Delta B)^2 = \langle (B - \langle B \rangle)^2 \rangle = \langle (\hat{B} - \langle B \rangle)^2 \rangle = \langle \tilde{B}^2 \rangle$$

$$\text{dvs } \tilde{B} = \hat{B} - \langle B \rangle$$

Dvs,  $\tilde{A}$  og  $\tilde{B}$  er operatorer for hhv  $\Delta A$  og  $\Delta B$ .

Triks: Start med

$$\int |\tilde{A} \Psi + i\alpha \tilde{B} \Psi|^2 dx \geq 0,$$

i første omgang med en villkårlig, reell  $\alpha$ .

Siden A og B er reelle, er alle operatorer  $(\hat{A}, \hat{B}, \tilde{A}, \tilde{B})$  hermiteske, så PCH 2.8 kan brukes etter behov.

$$\int (\tilde{A}\Psi + i\alpha \tilde{B}\Psi)^* (\tilde{A}\Psi + i\alpha \tilde{B}\Psi) dx$$

$$\int (\tilde{A}\Psi)^* \tilde{A}\Psi dx + \alpha^2 \int (\tilde{B}\Psi)^* \tilde{B}\Psi dx$$

$$+ i\alpha \int (\tilde{A}\Psi)^* \tilde{B}\Psi dx - i\alpha \int (\tilde{B}\Psi)^* \tilde{A}\Psi dx$$

Med PCff 2.8 fås alle integrader på formen  $\int \Psi^* (\dots) \Psi dx$ :

$$\int (\tilde{A}\Psi)^* \tilde{A}\Psi dx = \int \Psi^* \tilde{A} \tilde{A} \Psi dx = \langle \tilde{A}^2 \rangle = (\Delta A)^2$$

$$\int (\tilde{B}\Psi)^* \tilde{B}\Psi dx = \alpha^2 \langle \tilde{B}^2 \rangle = \alpha^2 (\Delta B)^2$$

$$\int (\tilde{A}\Psi)^* \tilde{B}\Psi dx - \int (\tilde{B}\Psi)^* \tilde{A}\Psi dx = \langle \tilde{A}\tilde{B} - \tilde{B}\tilde{A} \rangle = \langle [\tilde{A}, \tilde{B}] \rangle$$

led andre ord:

$$(\Delta A)^2 + \alpha^2 (\Delta B)^2 + i\alpha \langle [\tilde{A}, \tilde{B}] \rangle \geq 0$$

Forenkler sist leddet:

$$[\tilde{A}, \tilde{B}] = (\hat{A} - \langle A \rangle)(\hat{B} - \langle B \rangle) - (\hat{B} - \langle B \rangle)(\hat{A} - \langle A \rangle)$$

$$= \hat{A}\hat{B} - \hat{B}\hat{A} + \text{6 ledd som kansellerer, da } \langle A \rangle \text{ og } \langle B \rangle \text{ kommuterer med } \hat{A} \text{ og } \hat{B}$$

$$= [\hat{A}, \hat{B}]$$

$\Rightarrow$

$$(\Delta A)^2 + \alpha^2 (\Delta B)^2 + i\alpha \langle [\hat{A}, \hat{B}] \rangle \geq 0$$

Mult. med  $(\Delta B)^2$  gir

$$(\Delta A)^2 (\Delta B)^2 \geq -\alpha^2 (\Delta B)^4 - \alpha \langle [\hat{A}, \hat{B}] \rangle i (\Delta B)^2$$

fer er høyre side en parabel med negativ krumming, er den betraktet som en funksjon av den viktige reelle  $\alpha$ . Ulikheten gjelder generelt, dess også for den verdien av  $\alpha$  som gir maksimal verdi på høyre side. Denne max-verdien finner vi ved å ta  $d/d\alpha$  og sette lik null:

$$\frac{d}{d\alpha} \left\{ -\alpha^2 (\Delta B)^4 - \alpha \langle [\hat{A}, \hat{B}] \rangle i (\Delta B)^2 \right\} = 0$$

$$\Rightarrow \alpha = -\frac{i}{2(\Delta B)^2} \langle [\hat{A}, \hat{B}] \rangle$$

Setter denne  $\alpha$  inn på høyre side og får

$$(\Delta A)^2 \cdot (\Delta B)^2 \geq \frac{1}{4} \langle [\hat{A}, \hat{B}] \rangle^2 - \frac{1}{2} \langle [\hat{A}, \hat{B}] \rangle^2 = \underbrace{-\frac{1}{4} \langle [\hat{A}, \hat{B}] \rangle^2}_{\text{(Positiv! } [\hat{A}, \hat{B}] \text{ er imaginær.)}}$$

$$\Rightarrow \Delta A \cdot \Delta B \geq \frac{1}{2} |\langle [\hat{A}, \hat{B}] \rangle| \quad \underline{\text{qed}}$$

Kes 1:  $[x, \hat{p}_x] = i\hbar \Rightarrow \Delta x \cdot \Delta p_x \geq \hbar/2$

$\Rightarrow$  en partikkel kan ikke ha skarp  $x$  og  $p_x$  samtidig

Kes 2:  $[x, \hat{p}_z] = 0$

$\Rightarrow$  kan ha skarp verdi av  $x$  og  $p_z$  samtidig

Kes 3: Bestem  $\Psi(x)$  som gir minimalt uskarphetsprodukt, dus  $\Delta x \cdot \Delta p_z = \hbar/2$ .

Løsn: Dette må tilsvare

$$\tilde{A} \Psi + i\alpha \tilde{B} \Psi = 0$$

$$\text{med } \tilde{A} = x - \langle x \rangle \quad \text{og} \quad \tilde{B} = \hat{p} - \langle p \rangle = \frac{\hbar}{i} \frac{\partial}{\partial x} - \langle p \rangle$$

$$\text{og } \alpha = -\frac{i}{2(\Delta p)^2} \langle [x, \hat{p}] \rangle = \frac{\hbar}{2(\Delta p)^2} = \frac{\Delta x \cdot \Delta p}{(\Delta p)^2} = \frac{\Delta x}{\Delta p}$$

(43)

$$\Rightarrow (x - \langle x \rangle) \Psi + (\alpha \hbar \frac{d}{dx} - i\alpha \langle p \rangle) \Psi = 0$$

$$\Rightarrow \frac{\partial \Psi}{\Psi} = \left( -\frac{x - \langle x \rangle}{\alpha \hbar} + \frac{i \langle p \rangle}{\hbar} \right) dx$$

$$\Rightarrow \Psi(x) \sim \exp \left\{ -\frac{(x - \langle x \rangle)^2}{2\alpha \hbar} + \frac{i \langle p \rangle x}{\hbar} \right\}$$

Her er  $2\alpha \hbar = 2 \cdot \frac{\Delta x}{\Delta p} \cdot 2\Delta x \Delta p = (2\Delta x)^2$  slik at

$$\Psi(x) \sim \exp \left\{ -\left(\frac{x - \langle x \rangle}{2\Delta x}\right)^2 + \frac{i \langle p \rangle}{\hbar} x \right\}$$

en gaussisk bølgepakke, sentrert om  $x = \langle x \rangle$  med bredde  $\Delta x$ .

### Tidsutvikling av forventningsverdier

[PCH 4.3 ; DJG 3.4.3 ; IP 4.3]

$$\frac{d}{dt} \langle F \rangle = \frac{d}{dt} \left\{ \int \Psi^* \hat{F} \Psi dx \right\}$$

$$= \int \frac{\partial \Psi^*}{\partial t} \hat{F} \Psi dx + \int \Psi^* \hat{F} \frac{\partial \Psi}{\partial t} dx + \int \Psi^* \frac{\partial \hat{F}}{\partial t} \Psi dx$$

$$= \int \left( \frac{\hat{H} \Psi}{i\hbar} \right)^* \hat{F} \Psi dx + \int \Psi^* \hat{F} \left( \frac{\hat{H} \Psi}{i\hbar} \right) dx + \left\langle \frac{\partial \hat{F}}{\partial t} \right\rangle$$

$$= \frac{i}{\hbar} \int \Psi^* (\hat{H} \hat{F} - \hat{F} \hat{H}) \Psi dx + \left\langle \frac{\partial \hat{F}}{\partial t} \right\rangle$$

$$= \frac{i}{\hbar} \left\langle [\hat{H}, \hat{F}] \right\rangle + \left\langle \frac{\partial \hat{F}}{\partial t} \right\rangle$$

Har ofte  $\partial \hat{F} / \partial t = 0$ . Da er  $d\langle \hat{F} \rangle / dt = \frac{i}{\hbar} \langle [\hat{H}, \hat{F}] \rangle$ ,

som betyr at  $\langle \hat{F} \rangle$  er en beregelseskonsant når  $\hat{F}$  kommuterer med  $\hat{H}$ .

ks:  $\langle p \rangle$  for en fri partikkkel ( $V=0$ )

$$\hat{H} = \hat{p}^2/2m \Rightarrow [\hat{H}, \hat{p}] = 0 \Rightarrow \langle p \rangle = \text{konstant},$$

som ventet, siden ingen krefter virker på partikkelen.

Men dersom  $V$  avhenger av  $x$ , blir  $F = -dV/dx \neq 0$ , og vi forventer at  $\langle p \rangle$  blir avhengig av tida  $t$ .

### Hrenfests teorem [PCH 4.4; DFG 1.5, 4.1; IØ 4.4]

Uttrykket at kantmek. middelverdier (førre verdier) oppfyller klassiske bevegelsesligninger, dvs:

$$1D: \frac{d}{dt} \langle x \rangle = \frac{\langle p \rangle}{m}; \quad \frac{d}{dt} \langle p \rangle = \left\langle -\frac{\partial V}{\partial x} \right\rangle$$

$$3D: \frac{d}{dt} \langle \vec{r} \rangle = \frac{\vec{p}}{m}; \quad \frac{d}{dt} \langle \vec{p} \rangle = \left\langle -\nabla V \right\rangle$$

Beweis (i 1D) med bruk av  $d\langle F \rangle / dt = \frac{i}{\hbar} \langle [\hat{H}, \hat{F}] \rangle$ , med hvr  $\hat{F} = x$  og  $\hat{F} = \hat{p}$ , og  $\hat{H} = \hat{p}^2/2m + V$ , der  $V$  generelt kan avhenge av både  $x$  og  $t$ .

$$\frac{d\langle x \rangle}{dt} = \frac{i}{\hbar} \langle [\hat{H}, x] \rangle = \frac{i}{2m\hbar} \langle [\hat{p}^2, x] \rangle \quad (\text{siden } [V, x] = 0)$$

$$\begin{aligned} \text{Triks: } [\hat{p}^2, x] &= \hat{p}\hat{p}x - x\hat{p}\hat{p} = \hat{p}\hat{p}x - \hat{p}x\hat{p} + \hat{p}x\hat{p} - x\hat{p}\hat{p} \\ &= \hat{p}[\hat{p}, x] + [\hat{p}, x]\hat{p} = -2i\hbar\hat{p} \end{aligned}$$

$$\Rightarrow \frac{d\langle x \rangle}{dt} = \langle \hat{p} \rangle/m = \langle p \rangle/m$$

$$\frac{d\langle \hat{p} \rangle}{dt} = \frac{i}{\hbar} \langle [\hat{A}, \hat{p}] \rangle = \frac{i}{\hbar} \langle [V, \hat{p}] \rangle \quad (\text{siden } [\hat{p}^2, \hat{p}] = 0) \quad (45)$$

$$[V, \hat{p}] \psi = V \frac{\hbar}{i} \frac{\partial \psi}{\partial x} - \frac{\hbar}{i} \frac{\partial}{\partial x} (V\psi) = - \frac{\hbar}{i} \frac{\partial V}{\partial x} \psi$$

$\Rightarrow d\langle \hat{p} \rangle / dt = \langle -\partial V / \partial x \rangle$ , som er Newtons 2. lov,

siden  $F = \partial p / \partial t$  og  $F = -\partial V / \partial x$  (3D:  $\vec{F} = d\vec{p}/dt = -\nabla V$ )

————— qed

Vi kombinerer  $\langle \hat{p} \rangle = m \langle \dot{x} \rangle / dt$  med  $d\langle \hat{p} \rangle / dt = \langle -\partial V / \partial x \rangle = \langle F \rangle$ :

$$m \frac{d^2 \langle x \rangle}{dt^2} = \langle F \rangle$$

Merk at dette ikke uten videre betyr at  $\langle x \rangle$  vil følge den klassiske banen, bestemt av ligningen

$$m \frac{d^2 \langle x \rangle}{dt^2} = F(\langle x \rangle)$$

Finner forskjellen mellom  $\langle F(x) \rangle$  og  $F(\langle x \rangle)$  ved å rekkeutvikle  $F(x)$  omkring  $\langle x \rangle$ :

$$F(x) = F(\langle x \rangle) + (x - \langle x \rangle) F'(\langle x \rangle) + \frac{1}{2} (x - \langle x \rangle)^2 F''(\langle x \rangle) + \dots$$

$$\therefore \langle F(x) \rangle = F(\langle x \rangle) + \frac{1}{2} (\Delta x)^2 F''(\langle x \rangle) + \dots$$

• Klassisk newton-mekanikk er OK for  $\langle x \rangle(t)$ , dvs  $\langle F(x) \rangle \approx F(\langle x \rangle)$  dersom

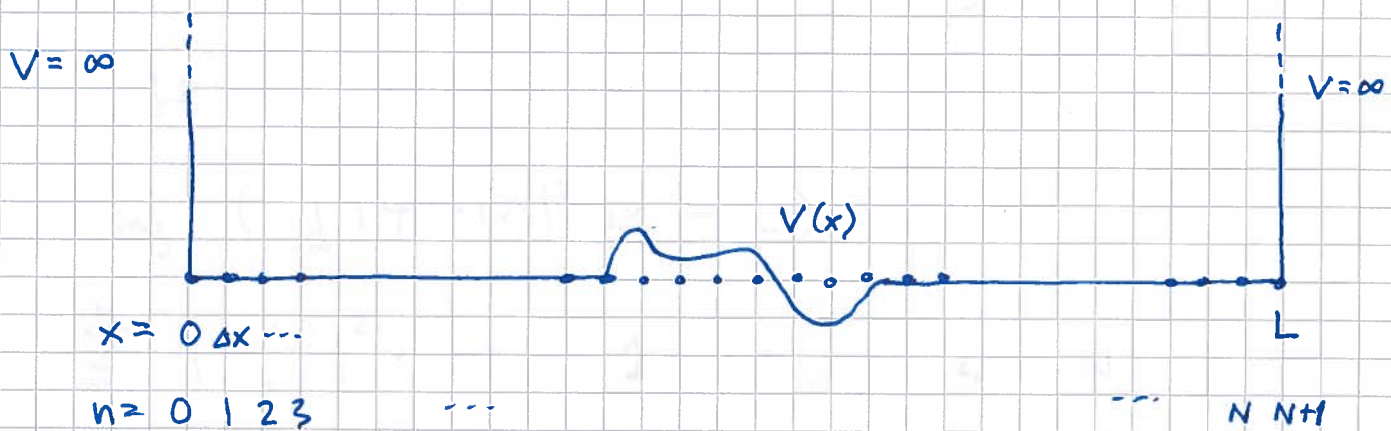
- $\Delta x$  er neglisjerbar (f.eks. en makroskopisk "partikkell") eller

- $V(x)$  varierer tilstrekkelig langsomt (dvs  $F''(\langle x \rangle)$  og høyere ordens deriverte er neglisjerbare) (makroskopisk potensial)

## Numerisk løsning av TUSL i 1D

$$-\frac{\hbar^2}{2m} \Psi''(x) + V(x) \Psi(x) = E \Psi(x)$$

- Antar  $V(x) \neq 0$  i et endelig område med utstrekning  $\ll L$ .
- Legger området med  $V(x) \neq 0$  langt unna  $x=0$  og  $x=L$ .
- Diskretiserer området  $0 < x < L$ .
- Setter  $V=\infty$  for  $x \leq 0$  og  $x \geq L$ , slik at  $\Psi=0$  der.



$$\Rightarrow x_n = n \cdot \Delta x, \quad V_n = V(x_n), \quad \Psi_n = \Psi(x_n)$$

$$V_0 = V_{N+1} = \infty, \quad \Psi_0 = \Psi_{N+1} = 0$$

$$\begin{aligned} \Psi_n'' &\approx \frac{\Psi_{n+1/2}^r - \Psi_{n-1/2}^l}{\Delta x} \approx \frac{(\Psi_{n+1} - \Psi_n)/\Delta x - (\Psi_n - \Psi_{n-1})/\Delta x}{\Delta x} \\ &= \frac{\Psi_{n+1} - 2\Psi_n + \Psi_{n-1}}{(\Delta x)^2} \end{aligned}$$

$$\Rightarrow -\frac{\hbar^2}{2m(\Delta x)^2} \{ \Psi_{n+1} - 2\Psi_n + \Psi_{n-1} \} + V_n \Psi_n = E \Psi_n ; \quad n=1, 2, \dots, N$$

Kan skrives på formen  $\vec{H} \vec{\Psi} = E \vec{\Psi}$  med tridiagonal matrise  $\vec{H}$ , med matriseelementer

$$H_{nn} = \frac{\hbar^2}{m(\Delta x)^2} + V_n \quad (\text{langs diagonalen})$$

$$H_{n,n\pm 1} = -\frac{\hbar^2}{2m(\Delta x)^2} \quad (\text{over og under diagonalen})$$

Dvs,  $H$  er reell og symmetrisk, med dimensjon  $N \times N$ . (47)

Vi har ikke-trivuelle løsninger,  $\vec{\Psi} \neq 0$ , når

$$\det(H - E\mathbb{1}) = 0$$

Tilsvarer  $N$ -te-gradsligning

$$c_N E^N - c_{N-1} E^{N-1} + \dots + c_1 E + c_0 = 0$$

med  $N$  løsninger  $E_1, E_2, \dots, E_N$  og tilhørende egenvektorer  $\vec{\Psi}^{(1)}, \vec{\Psi}^{(2)}, \dots, \vec{\Psi}^{(N)}$  som bestemmes ved

$$(H - E_j \mathbb{1}) \vec{\Psi}^{(j)} = 0 ; j = 1, 2, \dots, N$$

Normering  $(\int_{-\infty}^{\infty} |\Psi^{(j)}(x)|^2 dx = 1) :$

$$\sum_{n=1}^N |\Psi_n^{(j)}|^2 \cdot \Delta x = 1 ; j = 1, 2, \dots, N$$

$\Psi_n^{(j)} = \Psi^{(j)}(x_n) =$  verdien av  $\Psi^{(j)}$  i posisjon  $n \cdot \Delta x$

Implementeres enkelt i både python og matlab:

Python:

```
import numpy as np  
:  
w, v = np.linalg.eigh(H)  
:  
Da er
```

$$w[0] = E_1, \dots, w[N-1] = E_N$$

$$v[n-1, j-1] = \Psi_n^{(j)}$$

Matlab:

```
[v, w] = eig(H)  
:  
Da er
```

$$w(1,1) = E_1, \dots, w(N,N) = E_N$$

$$v(n,j) = \Psi_n^{(j)}$$

(Hva med julia ?!)

Vi har nå N stasjonære tilstander  $\Psi^{(j)}(x, t) = \psi^{(j)}(x) e^{-i E_j t / \hbar}$

som vi kan bruke til å utvikle en hvilken som helst starttilstand  $\psi$ ,

$$\Psi(x, 0) = \sum_{j=1}^N c^{(j)} \psi^{(j)}(x)$$

med koeffisienter

$$c^{(j)} = \sum_{n=1}^N \psi^{(j)*}(x_n) \cdot \Psi(x_n, 0) \cdot \Delta x \quad (\text{se s. 32})$$

Og vi kan studere tidsutviklingen av starttilstanden,

$$\Psi(x, t) = \sum_{j=1}^N c^{(j)} \psi^{(j)}(x) e^{-i E_j t / \hbar}$$

Og vi kan f.eks. regne ut forventningsverdier  $\langle x \rangle(t)$  og

$\langle p \rangle(t)$  i henhold til postulat G (s. 34), eller

skansyulighetsskjam som på s. 37. Osv osv.

(Obligatorisk prøving; kommer....)

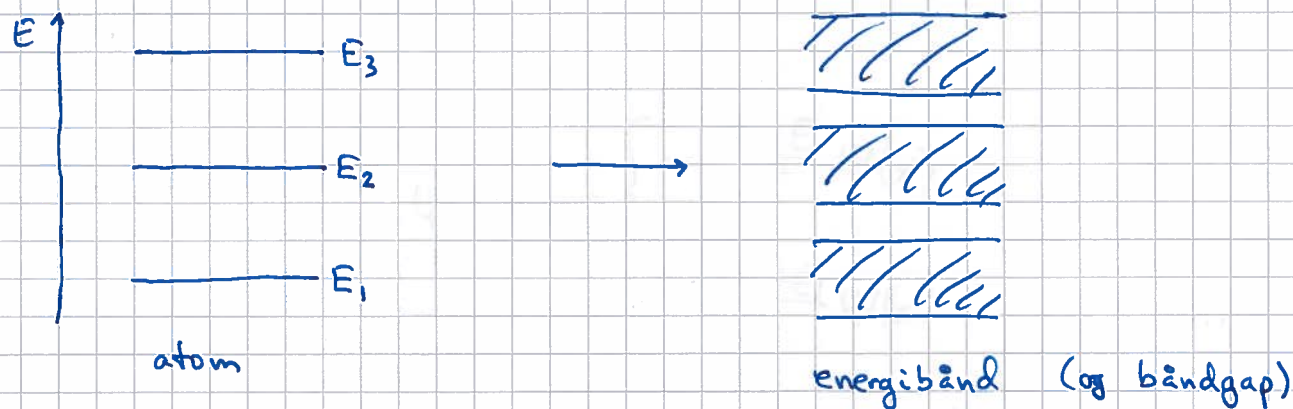
## Endelig potensialbrønn

[PCH 3.3 ; DFG 2.6 ; IP 3.2]

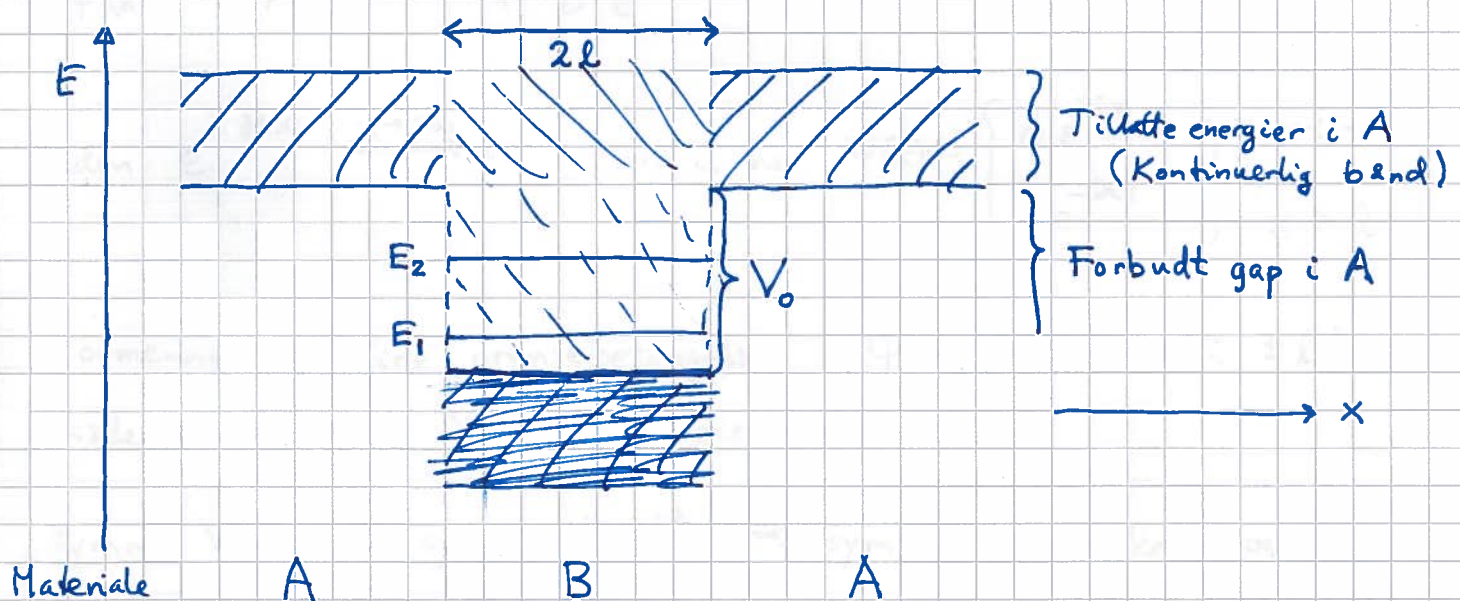
(49)

Motivasjon / Relevans :

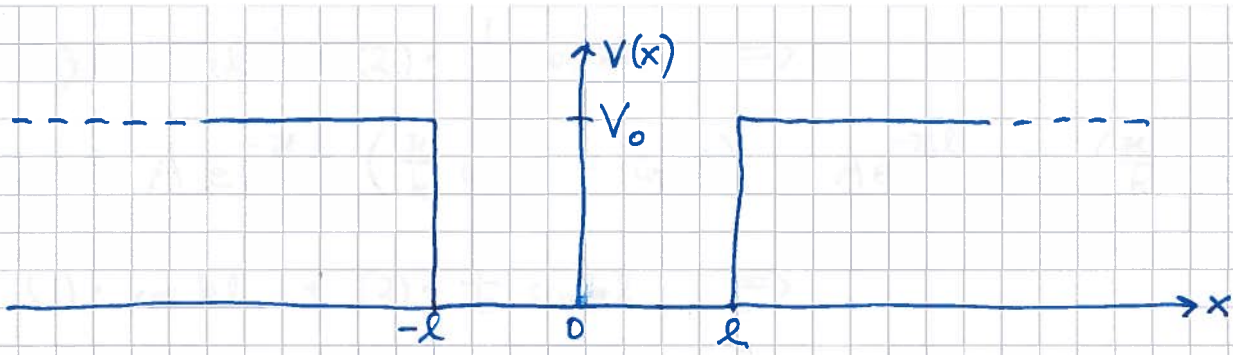
Når isolerte atomer settes sammen til en krystall, går diskrete energinivåer til kontinuerlige energibånd (se s. 27) :



Når ulike materialer settes sammen, lag for lag, vil energibånd og båndgap ikke "stemme overens". Eks:



Med et tynt lag av materiale B kan vi få diskrete energinivåer  $E_1, E_2, \dots$  under det tillatte energibåndet i materiale A. Vi får essensielt et potensial  $V(x)$  som er  $V_0$  høyere i A enn i B :



$$V(x) = \begin{cases} 0 &; |x| < l \\ V_0 &; |x| > l \end{cases}$$

TUSL blir:

$$\Psi''(x) = \begin{cases} -\frac{2mE}{\hbar^2} \Psi(x) &; |x| < l \\ \frac{2m(V_0-E)}{\hbar^2} \Psi(x) &; |x| > l \end{cases}$$

$E < V_0$ : Bundne tilstander

$$\Psi(x) = C \sin kx + D \cos kx ; k = \frac{\sqrt{2mE}}{\hbar} ; |x| < l$$

$$\Psi(x) = A e^{j\omega x} + B e^{-j\omega x} ; \omega = \frac{\sqrt{2m(V_0-E)}}{\hbar} ; |x| > l$$

Siden  $e^{\pm j\omega x} \xrightarrow{x \rightarrow \pm \infty} \infty$ , må vi ha  $\Psi(x) = \begin{cases} A e^{j\omega x} &; x < -l \\ B e^{-j\omega x} &; x > l \end{cases}$

Normering og fire grensebetingelser ( $\Psi$  og  $\Psi'$  kont. i  $x = \pm l$ ) fastlegger  $A, B, C, D$  og energien  $E$ .

Symm.  $V(x) \Rightarrow$  symm.  $|\Psi|^2 \Rightarrow$  symm.  $(D \cos kx)$  og antisymm.  $(C \sin kx)$  løsn.

$\Psi$  og  $\Psi'$  kont. i  $x = -l \Rightarrow$

$$A e^{-j\omega l} = -C \sin kl + D \cos kl \quad (1)$$

$$A j\omega e^{-j\omega l} = k(C \cos kl + D \sin kl) \quad (2)$$

(51)

$$-(1) \cdot \sin kl + (2) \cdot \frac{1}{k} \cos kl \Rightarrow$$

$$C = A e^{-jkl} \left( \frac{j\epsilon}{k} \cos kl - \sin kl \right) = A e^{-jkl} \cos kl \left( \frac{j\epsilon}{k} - \tan kl \right) \quad (3)$$

$$(1) \cdot \cos kl + (2) \cdot \frac{1}{k} \sin kl \Rightarrow$$

$$D = A e^{-jkl} \left( \cos kl + \frac{j\epsilon}{k} \sin kl \right) = A e^{-jkl} \cos kl \left( 1 + \frac{j\epsilon}{k} \tan kl \right) \quad (4)$$

$$\Psi \text{ og } \Psi' \text{ kont. i } x = l \Rightarrow$$

$$B e^{-jkl} = C \sin kl + D \cos kl \quad (5)$$

$$-B j e^{-jkl} = k (C \cos kl - D \sin kl) \quad (6)$$

$$(5) \cdot \frac{j\epsilon}{k} + (6) \cdot \frac{1}{k} \Rightarrow$$

$$C \left( \frac{j\epsilon}{k} \sin kl + \cos kl \right) + D \left( \frac{j\epsilon}{k} \cos kl - \sin kl \right) = 0$$

$$\Rightarrow C \left( \frac{j\epsilon}{k} \tan kl + 1 \right) + D \left( \frac{j\epsilon}{k} - \tan kl \right) = 0 \quad (7)$$

Innsetting av (3) og (4) i (7) gir to likeledd:

$$2 \left( \frac{j\epsilon}{k} \tan kl + 1 \right) \left( \frac{j\epsilon}{k} - \tan kl \right) = 0$$

Antisymm. løsn (AS):

$$\frac{j\epsilon}{k} \tan kl + 1 = 0 \Rightarrow D = 0 \Rightarrow \Psi(x) = C \sin kx$$

Symm. løsn (S)

$$\frac{j\epsilon}{k} - \tan kl = 0 \Rightarrow C = 0 \Rightarrow \Psi(x) = D \cos kx$$

Energiegenverdier:

$$\tan kl = \begin{cases} j\epsilon/k & (S) \\ -k/j\epsilon & (AS) \end{cases} \Rightarrow \tan \frac{\sqrt{2mE'}l}{\hbar} = \begin{cases} \sqrt{\frac{V_0-E}{E}} & (S) \\ -\sqrt{\frac{E}{V_0-E}} & (AS) \end{cases}$$